

به کارگیری روش نیرو و روش مرکزها در بهینه سازی وزن خرپاها

بهروز فرشی (دانشیار)

علی علی زیارتی (دانشجوی دکتری)

دانشکده مهندسی مکانیک، دانشگاه علم و صنعت

در این تحقیق بهینه سازی وزن سازه های خرپا تحت قيد تنش، سطح مقطع، و ارتباط بین سطح مقاطع اعضا تحت يك يا چند حالت بارگذاری استاتیکی، بررسی می شود. روش نقاط میانی که از تکنیک کره های محاطی بهره می جوید و از گردابیان توابع در آن استفاده می شود، به عنوان ابزار بهینه سازی در نظر گرفته شده، و از روش نیروها در تحلیل سازه به عنوان ابزار فرمول بنده استفاده می شود. در اینجا با تعیین روش مرکزها برای در نظر گرفتن قيد تساوی، امکان استفاده هم زمان از این دو روش به منظور بهره گیری هرچه بیشتر از خصوصیات ذاتی آن ها فراهم می شود. چند نمونه مثال عددی برای نشان دادن کارایی روش پیشنهادی ارائه شده است. مقایسه نتایج به دست آمده با آنچه که پیشتر در مراجع گذارش شده است، حاکی از قدرت و کارایی این روش است.

واژگان کلیدی: بهینه سازی، روش نیرو، روش مرکزها، محاطی، کمینه وزن، سازه های خرپایی.

farshi@iust.ac.ir
ali.alinia@iust.ac.ir

مقدمه

مبتنی بر معیار بهینگی (OC) نیز بررسی شده است.^[۱,۲] از جمله تحقیقات مهم، می توان به مطالعات انجام شده براساس تحلیل حساسیت و اصلاح معیارهای OC موجود برای یافتن معیار بهینگی مناسب تر^[۳] یا استفاده از مبنای چگالی انرژی کرنشی در سازه و اصلاح روش های موجود OC براساس آن^[۴] اشاره کرد. برخی از محققین با استفاده از شیوه SLP به حل مسائل بهینه سازی پرداختند؛ در پاره بی از این مطالعات با استفاده از اصلاح قید اندازه تغییر متغیرها و به کمک روش تابعی امینت^۳ وزن سازه های بهینه شد.^[۵-۱۷] از دیگر روش های عددی جستجو برای حل مسئله بهینه سازی که در دو دهه ای اخیر گسترش باقماند می توان به الگوریتم زتیک، استراتژی اولوشن^۴، شبکه های عصبی، و جستجوی هارمونی^۵ اشاره کرد. این روش ها از جمله روش های مرتبه صفرند و اغلب برای یافتن جواب نیازمند تعداد تکرار زیاد و محاسبات فراوانند. در فوق خلاصه کوچکی از کارهای فراوان انجام شده در زمینه بهینه سازی ارائه شد. در اغلب این روش ها تحلیل سازه مبتنی بر روش جابه جابی^۶ است. در مقابل، گروهی دیگر از پژوهشگران تلاش کردند تا با استفاده از روش نیرو^۷ در حل مسائل بهینه سازی، از فواید ساده سازی حاصل از آن تا حد امکان بهره برداری کنند.

در سال ۱۹۸۰ با ایده های خطی سازی معادله های سازگاری و اصلاح عدم ارضاء معادله های سازگاری و همراه کردن آن با روش برنامه ریزی خطی، مسئله بهینه سازی مدد نظر قرار گرفت.^[۸] سطح مقطع های اضلاع به عنوان متغیرهای طراحی در نظر گرفته شد و قيد تنش، قید اندازه روی سطح مقطع و ارتباط بین سطح مقطع اعضا^۸ در چند حالت مختلف بارگذاری بررسی شده است. این روش با گذاشتن يك

در چند دهه ای اخیر بهینه سازی سازه ها مورد توجه فراوان بسیاری از محققان قرار گرفته است. بدینه است که این دقت نظر به صرفه جویی در وقت، هزینه های طراحی و ساخت، و مواد مصرفی انجامیده است. در میان سازه ها، سازه های خرپا به دلیل سادگی و مصرف زیاد در صنعت -- در مقایسه با دیگر سازه ها -- توجه بیشتری از طراحان به خود جلب کرده است. افزون براین، تدوین هر روش جدید برای بهینه سازی سازه ها در ابتدا برای سازه های خرپا در نظر گرفته می شود و سپس طی مراحل تکامل به سازه های رتبه بالاتر تعمیم داده می شود. براین اساس، محققین و پژوهشگران به منظور یافتن کمینه وزن یک سازه روش های مختلفی ارائه کرده اند که در ادامه برخی از آن ها به اختصار شرح داده می شوند.

ماهیت بهینه سازی وزن سازه ها عموماً غیرخطی است. لذا برخی از محققین روش های برنامه ریزی غیرخطی (NLP)^۹ راکه مبتنی بر یک فاکتور بهینگی ریاضی است، برای حل این مسائل گسترش دادند.^[۱۰-۱۴] این روش ها عموماً روش هایی قوی در مسائل بهینه سازی هستند. محققین دیگری در جستجوی معیار بهینگی^{۱۰} برای مسائلی هستند که غالباً برمیانی یافتن ضرایب حساسیت رفتار سازه به پارامترهای طراحی باشد. در این گونه روش ها عموماً یک رابطه بازگشتی برای اصلاح متغیرهای طراحی به دست می آید که در مقایسه با روش های برنامه ریزی غیرخطی (NLP) باعث کاهش حجم محاسبات می شود. در این زمینه مطالعات بسیاری انجام شده است.^[۱۱-۱۷] همچنین امکان تلفیق روش برنامه ریزی غیرخطی (NLP) و روش

قید اضافی خارجی به نزدیکی‌های جواب می‌رسد. محققین دیگری با استفاده از

$$\text{Minimize } W(A) = \sum_{i=1}^m \rho_i l_i A_i \quad (1)$$

که در آن ρ_i جرم حجمی، l_i طول عضو، و A_i سطح مقطع عضو زام است. سازه می‌تواند تحت K حالت مختلف بارگذاری استاتیکی قرار گیرد. قیدهای در نظر گرفته شده عبارت‌اند از: قید تنش هر عضو، قید سطح مقطع و قید ارتباط بین سطح مقطع‌ها که می‌توان آن‌ها را چنین نشان داد:

$$\sigma_i^L \leq \sigma_{ik} \leq \sigma_i^U$$

$$A_i^L \leq A_i \leq A_i^U$$

linking of variables

$$i = 1, \dots, m; \quad k = 1, \dots, k. \quad (2)$$

که در آن σ_{ik} تنش در بارگذاری k ام، σ_i^U و σ_i^L مقادیر حد مجاز بالای و پایینی برای تنش، A_i^U مقادیر حد پایین و بالا برای سطح مقطع عضو زام هستند.

فرمول‌بندی روش نیرو

با استفاده از روش نیرو، نیروی هر عضو را در یک سازه نامعین استاتیکی که درجه نامعینی استاتیکی در آن R است، می‌توان به صورت رابطه‌ی 3 ارائه کرد:

$$F_{ik} = \sum_{s=1}^n b_{is} P_{sk} + \sum_{s=1}^J b_{xs} X_{sk} \quad (3)$$

که در آن F_{ik} نیروی عضو زام تحت بارگذاری k ام، b_{is} ضریب اثر بار واحد در راستای درجه آزادی s ام بر عضو زام، P_{sk} مقدار بار خارجی در راستای درجه آزادی s ام در بارگذاری k ام، b_{xs} ضریب اثر نیروی عضو زائد s ام بهمایی مقدار بار واحد بر عضو زام در بارگذاری k ام است. به عبارت دیگر در رابطه‌ی 3 نیروی عضو زائد s ام در سطح مقطع از F_{ik} که بعد از هر چرخه بیهینه‌سازی دیگر نیازی به تحلیل دوباره سازه نیست. از این روش برای تحلیل غیرخطی از روش تابع جریمه 11 و روش الگوریتم زنتیک نسبت به تحلیل سازه و بهمایی کردن وزن سازه در چرخه به طور توانمند اقدام شد؛ به طوری که بعد از هر چرخه بیهینه‌سازی دیگر نیازی به تحلیل دوباره سازه نیست. از این روش برای تحلیل غیرخطی 24 و در تحقیقی دیگر برای بیهینه‌سازی شکل و هندسه‌ی سازه نیز بهره‌برداری شد. 25 از دیگر تحقیقات انجام‌شده در روش نیرو می‌توان به ترکیب روش نیرو و الگوریتم مورچه اشاره کرد. 26 در این نوشتار بیهینه‌سازی وزن سازه‌های خربای کشسان تحت قید تنش، قید محدودیت بر سطح مقطع و قید ارتباط بین سطح مقطع‌های اعضا که ممکن است تحت قید یا چند حالت مختلف بارگذاری استاتیکی قرار گیرد، بررسی می‌شود.

وجود دو قید آخر مانع استفاده از روش مرچ 20 در این حالت خواهد شد. براین اساس باید روابط غیرخطی سازگاری به مسئله‌ی بیهینه‌سازی اضافه شود. هدف از این نوشتار استفاده ای هم‌زمان از خصوصیات خوب حاصل از فرمول‌بندی روش نیرو و روش مرکزها—که از تکیک روش کره‌های محاطی بهره می‌جوید—در بیهینه‌سازی وزن سازه‌های خرباگونه است. با در نظر گرفتن نیروهای اضلاع زائد و سطح مقطع‌ها به عنوان متغیرهای طراحی، می‌توان شرایطی فراهم کرد که در فرایند بیهینه‌سازی بعد از انجام هر چرخه نیازی به تحلیل سازه نیاشد. 27 روش کره‌های محاطی 11 تنها شامل قیود نامساوی است و بنا بر این، با تعمیم این روش می‌توان قیود تساوی را نیز به آن اضافه کرد. به همین لحاظ امکان استفاده ای توانمندی دو روش، به عبارت دیگر فرمول‌بندی قیود بر حسب روش نیرو و روش کره‌های محاطی فراهم می‌شود.

چند نمونه مثال عددی نیز برای نشان دادن کارایی و قدرت این روش ارائه می‌شود.

که در آن E_s ضریب کشسانی عضو زام است. با قرار دادن رابطه‌ی 3 در رابطه 5 خواهیم داشت: 28

$$\sum_{s=1}^m b_{x_{rs}}^T \frac{l_s}{E_s A_s} F_{sk} = 0 \quad r = 1, \dots, R; \quad k = 1, \dots, K. \quad (5)$$

یک سازه‌ی خربا با m عضو و n گره را در نظر بگیرید. تابع هدف طراحی مسئله

عبارت است از وزن این سازه خربا که می‌توان آن را به صورت رابطه‌ی 1 ارائه

فرمول‌بندی مسئله

یک سازه‌ی خربا با m عضو و n گره را در نظر بگیرید. تابع هدف طراحی مسئله

عبارت است از وزن این سازه خربا که می‌توان آن را به صورت رابطه‌ی 1 ارائه

در بیشتر روش‌های بهینه‌سازی غیرخطی، فرایند بهینه‌سازی بدین صورت است که ابتدا نقطه‌ی آغازین برای طراحی در نظر گرفته می‌شود و سپس سازه در آن نقطه تحلیل می‌شود و رفتار سازه به دست می‌آید. بعد از آن یک بار چرخه‌ی بهینه‌سازی براساس روشی مشخص انجام می‌گیرد و نقطه‌ی جدیدی برای طراحی حاصل می‌شود. سپس دوباره سازه در این نقطه‌ی جدید تحلیل می‌شود و رفتار سازه به دست می‌آید. دوباره این فرایند تکرار می‌شود تا به ترتیب نقاط جدید بهتری به دست آید. در این تحقیق هدف حذف مراحل میانی در یک چرخه‌ی بهینه‌سازی است. به عبارت دیگر هدف محصور کردن تحلیل سازه در داخل روش بهینه‌سازی است به‌طوری که با هر بار انجام فرایند بهینه‌سازی نه تنها یک نقطه‌ی جدید طراحی به دست می‌آید، بلکه رفتار سازه، و به بیان دیگر نیروها و متعاقب آن تنش‌های اعضا که قیود مورد بررسی هستند نیز توانمان به‌طور تقریبی به دست خواهد آمد. این روش پیش‌تر نیز مورد بررسی قرار گرفته است.^[۲۳] چنان که پیش‌تر بیان شد در این بررسی با استفاده از روش تابع جریمه مسئله به یک مسئله‌ی بهینه‌سازی بدون قید تبدیل شد و سپس از روش الگوریتم زتیک که روش مرتبه صفر محسوب می‌شود، برای حل آن مسئله استفاده شد. در اینجا هدف استفاده از روش‌های مرتبه بالاتر است که کارایی بهتری دارند. لذا برای نیل به این منظور از روش مرکزها که از تکنیک کره‌های محاطی بهره می‌جوید به عنوان ابزار بهینه‌سازی استفاده می‌شود. علی‌رغم دراختیار بودن توضیح کامل این روش،^[۲۴] برای کامل بودن بحث در این مجال روش مذکور به صورت مختصر ارائه می‌شود.

روشن کره‌های محاطی اساساً چنین است که ابتدا قیود و تابع هدف حول یک نقطه‌ی اولیه که در فضای قابل قبول قرار دارد، با استفاده از بسط سری تیلور خطی می‌شوند. سپس شاعع و مرکز بزرگ‌ترین کره قابل مماس بر این قیود و تابع هدف خطی شده، یافت می‌شود به‌طوری که مرکز کره در داخل فضای قابل قبول تعریف شده توسعه قیود و در سمت کاهش تابع هدف قرار داشته باشد و مرکز کره باید در جایی قرار گیرد که اندازه شعاع کره مماسی کوچک‌تر یا مساوی با فاصله‌ی نقطه‌ی مرکز کره تا هر یک از قیود خطی شده باشد. با این کار مرکز به دست آمده در وسط فضای قابل قبول است و فاصله‌ی آن از قیود فعلی به یک اندازه خواهد بود. حال مرکز کره به دست آمده به عنوان نقطه‌ی جدید طراحی در نظر گرفته می‌شود؛ و دوباره این فرایند حول این نقطه انجام می‌شود تا به ترتیج با این تکنیک فضای طراحی قابل قبول محدود شود؛ مرکز کره نیز به سمت نقطه‌ی بهینه حرکت می‌کند و شاعع آن به تدریج کاهش می‌یابد. لازم به ذکر است برای حفظ دقت تقریب خطی سازی و همچنین غلبه بر حالتی که نقطه‌ی جواب نهایی در یک زیرفضا قرار دارد، علاوه بر قیود مورد بررسی باید قید محدودیت اندازه حرکت نیز در نظر گرفته شود. روش مرکزها دارای ویژگی‌های مناسبی است؛ از جمله: ۱. حذف موقعی قیود غیرفعال و فقط در نظر گرفتن قیود فعلی و نیمه‌فعال که به کاهش حجم مسئله می‌انجامد؛ ۲. حرکت نقطه‌ی طراحی در داخل فضای قابل قبول نسبت به قیود نامساوی است و بنابراین، هرگاه به هر دلیل فرایند بهینه‌سازی متوقف شود نقطه‌ی به دست آمده خود از دید یک طراح جوابی قابل قبول خواهد بود. همچنین نقطه‌ی بهینه حرکت می‌کند و شاعع چرخه نسبت به قیود حاکم در فاصله‌ی تقریباً یکسانی قرار دارد که باعث می‌شود نسبت به قیود دارای ضریب اطمینان تقریباً برابر باشد. همچنین به دلیل حرکت داخل فضای طراحی نسبت به خطی کردن قیود حساسیت کم‌تری نشان خواهد داد.

باید توجه داشت که با توجه به تعریف مسئله، در این تحقیق علاوه بر وجود قیود نامساوی (قید تنش و قید اندازه روی سطح مقطع)، قیود تساوی غیرخطی و به عبارتی قیود سازگاری که تعداد آن برابر $R \times K$ است، نیز وجود دارد. برای این که بتوان قید تساوی غیرخطی را در روش کره‌های محاطی اضافه کرد می‌توان از تکنیک زیراستفاده کرد. وجود قیود تساوی بدین معناست که جواب انتهایی مسئله

در سازه‌ی معین استاتیکی — به دلیل عدم وجود عضو زائد — رابطه‌ی سازگاری به طور خودکار ارضاء خواهد شد اما در سازه نامعین استاتیکی این رابطه به معنای وجود ارتباط بین سطح مقاطع و نیروهای اعضا زائد سازه است. لازم به ذکر است که تعداد این معادلات در هر حالت بارگذاری برابر با درجه نامعینی سازه است. چنان که مشاهده می‌شود رابطه‌ی ۶ یک رابطه‌ی غیرخطی بر حسب سطح مقاطع‌ها و نیروهای اعضا زائد سازه است.

فرمول‌بندی بهینه‌سازی

در اینجا هدف یافتن کم‌ترین مقدار وزن سازه خرپا است. قیود در نظر گرفته شده در این تحقیق عبارت اند از: ۱. تنش‌های اعضا که باید بین یک حد مجاز معلوم باشند؛ ۲. سطح مقاطع اعضا باید از حد مشخصی کم‌تر باشند؛ ۳. سطح مقاطع اعضا می‌توانند به یکدیگر مرتبط شوند (به عنوان مثال چند عضو باید سطح مقاطع برابر داشته باشند). با در نظر گرفتن سطح مقاطع (A_i) و نیروهای اعضا زائد (X_{ik}) به عنوان متغیرهای فضای طراحی، به عبارت دیگر گسترش فضای طراحی از تعداد m متغیر (تعداد سطح مقاطع) به $m + R \times K$ متغیر (تعداد سطح مقاطع‌ها باضافه‌ی تعداد نیروهای اعضا زائد در هر بارگذاری) قید تنش برحسب این متغیرها خطی خواهد شد.^[۲۵، ۲۶] در صورت عدم حضور دو قید آخر می‌توان از روش برنامه‌ریزی خطی^[۲۷] برای حل مسئله استقاده کرد. اما چون وجود هر یک از قید آخر، به خصوص قید اندازه روی سطح مقاطع‌ها، باعث می‌شود که سازه در انتهای فرایند بهینه‌سازی همچنان نامعین استاتیکی باشد، باید رابطه‌ی سازگاری را که بین‌گر ارتباط بین سطح مقاطع‌ها و نیروهای اعضا زائد است، به عنوان یک قید در مسئله بهینه‌سازی در نظر گرفت. چنان که پیش‌تر نیز بیان شد این قید برحسب متغیرهای فضای جدید گسترش یافته (A_i و X_{jk}) غیرخطی است و دیگر نمی‌توان از برنامه‌ریزی خطی (LP) به تنهایی برای حل مسئله بهره می‌شود. افزون بر این، در چنین حالتی جواب بهینه می‌تواند به جای این که در یک گوشش کامل باشد در یک زیرفضای طراحی، جایی که تعداد قیود فعلی کم‌تر از تعداد متغیرها است، قرار گیرد. با توجه به این که جواب حاصل از حل برنامه‌ریزی خطی همیشه در یک گوششی کامل قرار دارد، استفاده از برنامه‌ریزی خطی به تنهایی پاسخ‌گو نخواهد بود. بنابراین باید از روش دیگری که بتواند قیود غیرخطی را نیز پاسخ‌گو باشد بهره می‌جست. بر اساس تعریف مسئله در این تحقیق می‌توان مسئله‌ی بهینه‌سازی را به صورت رابطه‌ی ۷ نشان داد.

$$\text{Minimize : } W(A) = \sum_{i=1}^m \rho_i l_i A_i$$

Subject to :

$$\begin{aligned} -\sigma_i^U A_i + \sum_{s=1}^J b_{x_{is}} X_{sk} &\leq -\sum_{s=1}^n b_{s_is} P_{sk} \\ \sigma_i^L A_i - \sum_{s=1}^J b_{x_{is}} X_{sk} &\leq \sum_{s=1}^n b_{s_is} P_{sk} \\ \sum_{s=1}^m b_{x_{rs}}^T \frac{l_s}{E_s A_s} \left(\sum_{l=1}^n b_{s_l} P_{lk} + \sum_{l=1}^J b_{x_{sl}} X_{lk} \right) &= 0 \\ A_i^L \leq A_i \leq A_i^U \end{aligned}$$

Linking of variables

$$i = 1, \dots, m; \quad r = 1, \dots, R; \quad k = 1, \dots, K. \quad (7)$$

قیود نامساوی و تساوی است که چنین بیان می‌شوند:

$$\begin{aligned} -\sigma_i^U A_i + \sum_{s=1}^J b_{x_{is}} X_{sk} &\leq -\sum_{s=1}^n b_{\circ_{is}} P_{sk} \\ \sigma_i^L A_i - \sum_{s=1}^J b_{x_{is}} X_{sk} &\leq \sum_{s=1}^n b_{\circ_{is}} P_{sk} \\ \sum_{s=1}^m b_{x_{rs}}^T \frac{l_s}{E_s A_s} \left(\sum_{l=1}^n b_{\circ_{sl}} P_{lk} + \sum_{l=1}^J b_{x_{sl}} X_{lk} \right) &= 0 \\ A_i^L \leq A_i \leq A_i^U & \\ i = 1, \dots, m; \quad r = 1, \dots, R; \quad k = 1, \dots, K. & \end{aligned} \quad (11)$$

ذکر این نکته ضروری است که قید ارتباط بین سطح مقطع‌ها در اکثر روش‌های بهینه‌سازی یک قید تساوی ساده است و لزوماً به عنوان قید در نظر گرفته نمی‌شود و تنها به کاهش تعداد متغیرها می‌انجامد.^[۲] در این تحقیق نیز روش کارمند دیگر روش‌هاست اما علت ذکر این قید آن است که وجود این قید می‌تواند به این موضوع منتهی شود که سازه در انتهای کار نامعین استاتیکی باقی بماند و در تیجه در نظر گرفتن روابط سازگاری ضروری باشد.

باید روی این قیود قرار داشته باشد. در فضای گسترش‌یافته، قسمتی از فضا را که نسبت به قیود نامساوی قابل قبول‌اند در نظر بگیرید. با توجه به ماهیت مسئله‌ی مورد بررسی که یک سازه است، بخشی از سطح قیود سازگاری باید در این فضا باشند. لذا تنها نقاطی از فضای قابل قبول که روی این سطح قرار دارند می‌توانند جواهی برای مسئله باشند. به عبارت دیگر، یک نقطه در این سطح مقداری برای سطح مقطع‌ها و نیروهای اعضا را تا حد تخصیص می‌دهد که هم قیود نامساوی و هم قیود سازگاری را ارضاء می‌کنند (فضای قابل قبول - سازگار^[۱]). باید توجه داشت که در صورت وجود چند قید سازگاری فضای قابل قبول - سازگار زیرفضایی است که از فصل مشترک این قیود حاصل می‌شود. لذا قیود تساوی (سازگاری) را می‌توان مانند قیود نامساوی در نظر گرفت، با این تفاوت که در روش کره‌های محاطی قید اعمالی بر روی شعاع کره به جای کوچک‌تر بودن از فاصله‌ی مرکز کره تا خطی شده‌ی قیود، به قید تساوی تبدیل می‌شود. این کار باعث می‌شود که در هر تکرار بزرگ‌ترین کره به‌گونه‌ی انتخاب شود که همیشه بر این قیود تساوی (به عبارت دیگر خطی شده آن‌ها) مماس باشد و هرچه چرخه‌ی بهینه‌سازی پیش می‌رود با کاهش شعاع کره، مرکز کره به تدریج به سمت این قیود تساوی نزدیک‌تر می‌شود و در نهایت نقطه‌ی جواب روی فصل مشترک این قیود خواهد نشست. به عبارت دیگر می‌توان مسئله‌ی بهینه‌سازی را چنین فرمول شدی کرد.

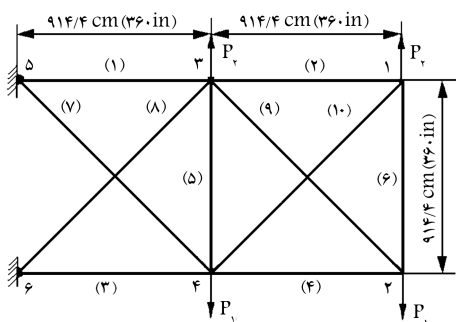
مثال عددی

برای نشان دادن کارایی روش ارائه شده چند مثال عددی متدال در بهینه‌سازی بررسی می‌شوند. این مثال‌ها عبارت‌اند از: خرپای ۱۰ عضوی، ۲۵ عضوی، ۷۲ عضوی، ۶۰ عضوی، و ۲۰۰ عضوی. برای شروع بهینه‌سازی کافی است سطح مقطع اعضا به حد کافی بزرگ انتخاب شوند تا در فضای قابل قبول نسبت به قیود نامساوی قرار گیرند. در مثال‌های زیر تامی سطح مقطع اعضا در نقطه‌ی آغازین دارای سطح مقطع برابرند.

مثال اول: خرپای صفحه‌ی ۱۰ عضوی

در شکل ۱ خرپای ۱۰ عضوی نشان داده شده که توسط محققان زیادی مورد بررسی قرار گرفته و نتایج مربوط به آن پیش‌تر گزارش شده است.^[۳] اطلاعات مربوط به این مثال عبارت است از:

$E = 68947 \text{ MPa}$ (10^7 psi)
 $\sigma_0 = \pm 172 \text{ MPa}$ (25 ksi)
 $\rho = 2768 \text{ kg/m}^3$ (0.1 pci)
 سطح مقطع اعضا باید بزرگ‌تر از 0.1 in^3 (0.1 cm^3) باشد.



شکل ۱. خرپای ۱۰ عضوی.

Maximize : r_p

Subject to :

$$\begin{aligned} 1) r_p &\leq l_{ineq}^{(p)}; && (\text{برای قیود نامساوی}) \\ 2) r_p &\leq l_W^{(p)} \\ 3) r_p &= l_{eq}^{(p)}; && (\text{برای قیود مساوی}) \\ 4) \vec{l}_{(p)}^L &\leq \vec{S}_{(p)} \leq \vec{l}_{(p)}^U \\ \text{ineq} &= 1, \dots, \\ m \times K &+ \\ \text{عدد متغیرهای طراحی وابسته} & \\ \text{eq} &= 1, \dots, J \times K \end{aligned} \quad (8)$$

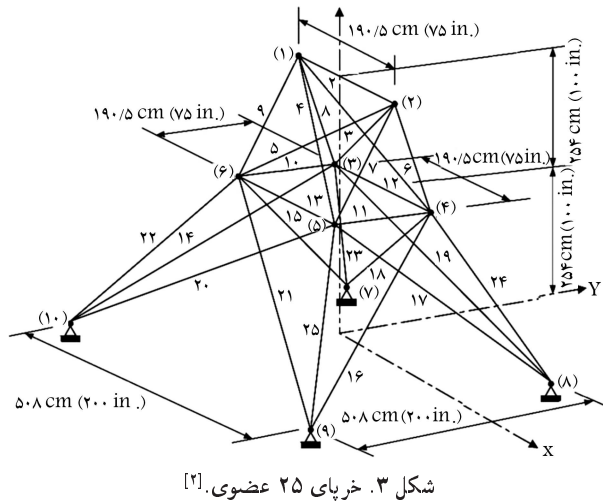
که در آن r_p شعاع کره محاطی در چرخه‌ی p ام، $\vec{S}_{(p)}$ بردار حرکت از نقطه‌ی قبلی به مرکز جدید، $\vec{l}_{(p)}^L$ و $\vec{l}_{(p)}^U$ مقدار حد بالا و پایین برای مؤلفه‌های بردار حرکت، $l_{ineq}^{(p)}$ فاصله‌ی مرکز کره تا قیود نامساوی (قید تنش، جابه‌جایی، و قید اندازه روزی سطح مقطع)، $l_{eq}^{(p)}$ فاصله‌ی مرکز کره تا قیود مساوی (که عبارت اند از قیود سازگاری) و $l_W^{(p)}$ فاصله‌ی مرکز کره تا تابع هدف است که همگی در چرخه‌ی p ام هستند:

$$\begin{aligned} l_{ineq}^{(p)} \text{ or } l_{eq}^{(p)} &= \frac{g_q \left(\vec{A}_p, \vec{X}_p \right) + \vec{S}_p^T \cdot \vec{\nabla} g_q \left(\vec{A}_p, \vec{X}_p \right)}{|\vec{\nabla} g_q \left(\vec{A}_p, \vec{X}_p \right)|} \\ l_W^{(p)} &= \frac{-\vec{S}_p^T \cdot \vec{\nabla} W \left(\vec{A}_p, \vec{X}_p \right)}{|\vec{\nabla} W \left(\vec{A}_p, \vec{X}_p \right)|} \end{aligned} \quad (10)$$

در رابطه‌ی ۹ (\vec{A}_p, \vec{X}_p) بردار نقطه‌ی طراحی در چرخه‌ی p ام (مرکز کره به دست g_q از چرخه‌ی قبلی)، $\vec{\nabla}$ عملگر گرادیان، W تابع وزن سازه (رابطه‌ی ۱)، و

مثال دوم: خرپای فضایی ۲۵ عضوی

در شکل ۳ سازه خرپای فضایی ۲۵ عضوی [۱] نشان داده شده است. ماده‌ی به کار گرفته شده آلومینیوم با ضریب کشسانی (10^7 MPa) و جرم وزنی (68947 kg/m^3) است. در حالت کلی سازه تحت $6 \text{ pc}\text{i}$ بارگذاری مستقل قرار دارد. [۱] اما با توجه به تقارن بارگذاری سطح مقطع اعضا به هفت گروه تقسیم شده (جدول ۲) و بنابراین (مطابق جدول ۳) بارگذاری به دو حالت کاهشی می‌باشد. [۲] در شکل ۴ روند تغییرات وزن بر حسب تکرار بهینه‌سازی نشان داده شده است؛ اندازه‌ی سطح مقطع اعضاها برای نقطه‌ی آغازین همسگی برابر با (25 in^2) 161 cm^2 در نظر گرفته شده است. مقاومت حد کششی و فشاری برابر با (ksi) 40 است. سطح مقطع اعضا باید بزرگ‌تر از (10 in^2) 1 cm^2 باشد. نتایج به دست آمده برای این مثال در جدول ۲ آرائه شده است.



شکل ۳. خرپای ۲۵ عضوی. [۲]

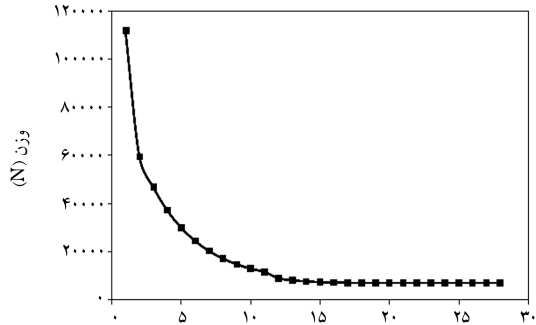
جدول ۲. خلاصه‌ی نتایج برای مثال خرپای ۲۵ عضوی.

سطح مقطع اعضا در نقطه بهینه (cm ²)	اعضای گروه	شماره‌ی گروه
مرجع [۲]		
روش این تحقیق		
۰,۶۴۵۲	۰,۶۴۵۲	A_1
۰,۴۲۷۹	۲,۴۲۲۷	$A_2 : A_5$
۳,۰۳۷۶	۳,۰۵۴۴	$A_6 : A_9$
۰,۶۴۵۲	۰,۶۴۵۲	$A_{10} : A_{13}$
۰,۶۴۵۲	۰,۶۴۵۲	$A_{14} : A_{17}$
۱,۷۸۸۵	۱,۷۹۷۵	$A_{18} : A_{21}$
۲,۴۵۲۴	۲,۴۴۹۸	$A_{22} : A_{25}$
۴۰۵,۸	۴۰۵,۹۹	وزن N

جدول ۳. حالات بارگذاری در خرپای ۲۵ عضوی. [۲]

بارگذاری ۱ (kN)			بارگذاری ۲ (kN)			شماره‌ی گره
P _Z	P _Y	P _X	P _Z	P _Y	P _X	
-۲۲,۲۴	۸۸,۹۶	۰	-۲۲,۲۴	۴۴,۴۸	۴,۴۴۸	۱
-۲۲,۲۴	-۸۸,۹۶	۰	-۲۲,۲۴	۴۴,۴۸	۰	۲
۰	۰	۰	۰	۰	۲,۲۲۴	۳
۰	۰	۰	۰	۰	۲,۲۲۴	۶

در این مثال قید ارتباط بین متغیرها وجود ندارد. این مثال در دو حالت مختلف بررسی می‌شود. در حالت اول تنها یک بارگذاری به صورت $P_1 = 100 \text{ kips}$ ($444,82 \text{ kN}$) است. در حالت دوم نیز تنها یک بارگذاری به $P_2 = 50 \text{ kips}$ ($222,41 \text{ kN}$) (150 kips) است. در شکل ۲ نمودار تغییرات وزن سازه بر حسب چرخه‌های بهینه‌سازی برای حالت اول نشان داده شده است. در نقطه‌ی آغازین سطح مقطع هماگی برابر با (60 in^2) 387 cm^2 در نظر گرفته شده اند. چنان‌که مشاهده می‌شود روند جواب به صورت کاهشی و پایدار است و بعد از ۱۵ تکرار اختلاف جواب بهینه‌ی به دست آمده با جواب واقعی کمتر از ۱ درصد است. در جدول ۱ نتایج به دست آمده از روش ارائه شده در این تحقیق در مقایسه با روش برنامه‌ریزی غیرخطی [۲] ارائه شده است. مشاهده می‌شود که بین جواب‌های به دست آمده و نتایج موجود توافق خوبی وجود دارد. در این مثال در هر دو حالت جواب بهینه در یک گوششی کامل — جایی که تعداد قبود فعلی بزرگ‌تر یا مساوی با تعداد متغیرها است — قرار دارد. به عبارت دیگر علاوه بر دو قید تساوی سازگاری، در حالت اول ۴ قید از قبود اندازه بر روی سطح مقطع و ۶ قید تنش، و در حالت دوم ۳ قید اندازه و ۷ قید تنش فعلی اند. این حالت ارجمله حالتی است که حتی روش ساده‌بی همچون FSD نیز پاسخ‌گو خواهد بود. [۱۶,۱۲]



شکل ۲. نمودار تغییرات وزن بر حسب تعداد چرخه‌ی بهینه‌سازی برای خرپای ۲۵ عضوی (حالت اول).

جدول ۱. خلاصه‌ی نتایج برای مثال خرپای ۱۵ عضوی.

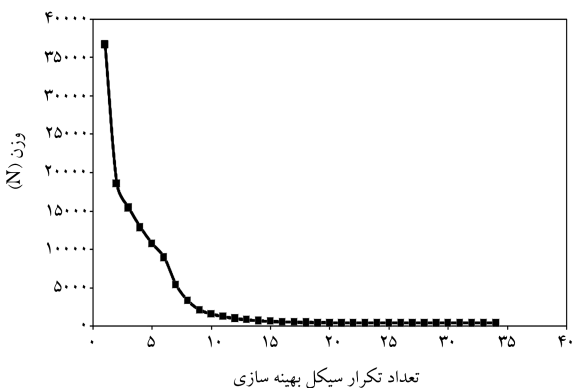
مرجع [۲]	روش این تحقیق	سطح مقطع اعضا در نقطه‌ی بهینه (cm ²)		شماره‌ی عضو
		حالت اول	حالت دوم	
۳۸,۳۷۵۲	۳۸,۳۷۶۵	۵۱,۲۱۲	۵۱,۲۱۲	۱
۰,۶۴۵۲	۰,۶۴۵	۰,۶۴۵۲	۰,۶۴۵	۲
۶۴,۸۵۶۸	۶۴,۸۵۵۵	۵۲,۰۱۲	۵۲,۰۱۲	۳
۲۵,۴۷۱۲	۲۵,۴۷۲۵	۲۵,۴۰۵۷	۲۵,۴۰۶۴	۴
۰,۶۴۵۲	۰,۶۴۵	۰,۶۴۵۲	۰,۶۴۵	۵
۱۲,۲۴۰۸	۱۲,۲۳۹۵	۰,۶۴۵۲	۰,۶۴۵	۶
۵۵,۲۲۴	۵۵,۲۲۷	۳۷,۰۶۲۵	۳۷,۰۶۴	۷
۱۷,۷۷۳	۱۷,۷۶۸۸	۳۵,۹۲۸۹	۳۵,۹۲۸	۸
۳۶,۰۲۱۵	۳۶,۰۲۱	۳۵,۹۲۸۹	۳۵,۹۲۸	۹
۰,۶۴۵۲	۰,۶۴۵	۰,۶۴۵۲	۰,۶۴۵	۱۰
۷۴۰۴,۰۷	۷۴۰۴,۰۷	۷۰,۸۶,۹	۷۰,۸۶,۹	وزن (N)

جدول ۴. خلاصه‌ی نتایج برای مثال خرپای ۷۲ عضوی، ۱۶ سطح مقطع مستقل.

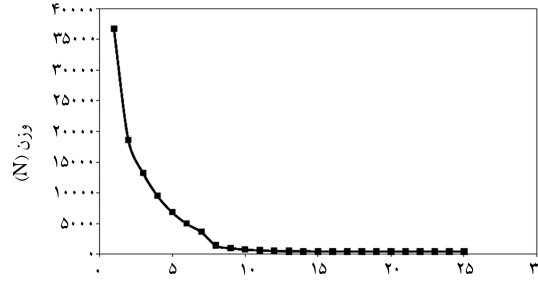
روش این تحقیق	مرجع [۶]	سطح مقطع اعضای در نقطه‌ی بهینه (cm^3)	اعضای گروه	شماره‌ی گروه
۱/۲۱۸۱	۱/۲۱۸۱	$A_1 : A_4$	۱	
۰/۶۴۵۲	۰/۶۴۵۲	$A_5 : A_{12}$	۲	
۰/۶۴۵۲	۰/۶۴۵۲	$A_{13} : A_{16}$	۳	
۰/۶۴۵۲	۰/۶۴۵۲	$A_{17} : A_{18}$	۴	
۱/۲۲۸۵	۱/۲۲۸۵	$A_{19} : A_{22}$	۵	
۰/۶۴۵۲	۰/۶۴۵۲	$A_{23} : A_{20}$	۶	
۰/۶۴۵۲	۰/۶۴۵۲	$A_{21} : A_{24}$	۷	
۰/۶۴۵۲	۰/۶۴۵۲	$A_{25} : A_{26}$	۸	
۱/۲۸۲۰	۱/۲۸۲۰	$A_{27} : A_{20}$	۹	
۰/۶۴۵۲	۰/۶۴۵۲	$A_{21} : A_{28}$	۱۰	
۰/۶۴۵۲	۰/۶۴۵۲	$A_{29} : A_{52}$	۱۱	
۰/۶۴۵۲	۰/۶۴۵۲	$A_{53} : A_{54}$	۱۲	
۱/۸۹۷۵	۱/۸۹۷۵	$A_{55} : A_{58}$	۱۳	
۰/۶۴۵۲	۰/۶۴۵۲	$A_{59} : A_{66}$	۱۴	
۰/۶۴۵۲	۰/۶۴۵۲	$A_{67} : A_{70}$	۱۵	
۰/۶۴۵۲	۰/۶۴۵۲	$A_{71} : A_{72}$	۱۶	
۴۲۹/۸	۴۲۹/۸	N	وزن	

جدول ۵. بارگذاری خرپای ۷۲ عضوی. [۲]

بارگذاری ۲			بارگذاری ۱			شماره‌ی گره
P_Z	P_Y	P_X	P_Z	P_Y	P_X	
-۲۲/۲۴	۲۲/۲۴	۰	-۲۲/۲۴	۲۲/۲۴	۲۲/۲۴	۱
-۲۲/۲۴	۰	۰	۰	۰	۰	۲
-۲۲/۲۴	۰	۰	۰	۰	۰	۳
-۲۲/۲۴	۰	۰	۰	۰	۰	۴



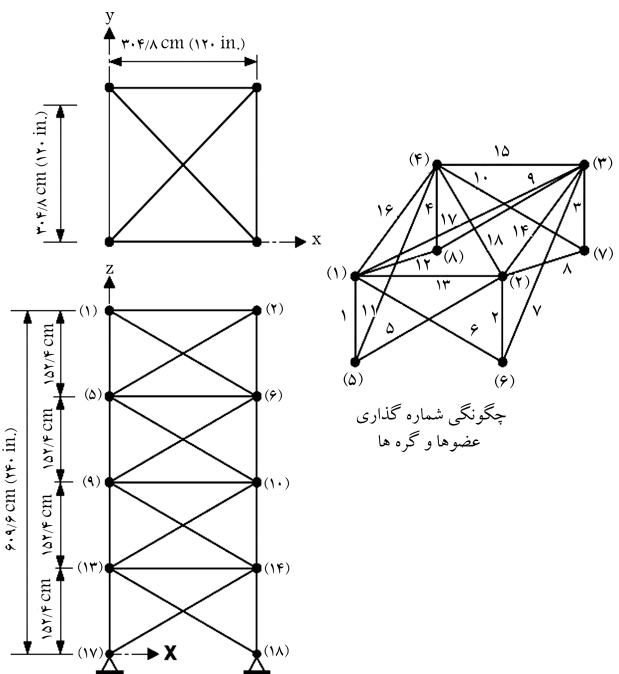
شکل ۶. نمودار تغییرات وزن بر حسب تعداد چرخه‌ی بهینه سازی برای خرپای ۷۲ عضوی.



شکل ۴. نمودار تغییرات وزن بر حسب تعداد چرخه‌ی بهینه سازی برای خرپای ۷۲ عضوی. [۲]

مثال سوم: خرپای فضایی ۷۲ عضوی

در شکل ۵ هندسه‌ی سازه خرپای فضایی ۷۲ عضوی و شماره‌گذاری گره‌ها و اعضای آن نشان داده شده است.^[۱] ماده‌ی به کار گرفته شده دارای ضریب کشسانی (10^7 psi) و جرم وزنی ($68947 \text{ MPa} / 1 \text{ pc} = 2768 \text{ kg/m}^3$) است. حد بالا و پایین تشتم تمام اعضای برابر است با (25 ksi) (25 in.^{-2}). بروزگشتن در حالت اصلی تحت ۵ حالت بارگذاری مستقل قرار دارد^[۴] اما به دلیل تقارن در بارگذاری، با استفاده از قید ارتباط بین متغیرها، سطح مقطع اعضای سازه را می‌توان به یکدیگر مرتبط کرد، به طوری که به شناسنده گره تقسیم شود (جدول ۴) و درنتیجه می‌توان بارگذاری را به دو حالت کاهش داد^[۱] (جدول ۵). برای آغاز بهینه سازی سطح مقطع تمامی اعضای برابرند و مقدار (25 in.^{-2}) (161 cm^2) برای آن در نظر گرفته شده است. در شکل ۶ روند کاهش وزن بر حسب تعداد مراحل بهینه سازی نشان داده شده است. نتایج به دست آمده برای این مثال در جدول ۴ ارائه شده و با سایر مراجع مقایسه شده است.



شکل ۵. خرپای فضایی ۷۲ عضوی. [۲]

جدول ۶. خلاصه‌ی نتایج برای مثال خرپای ۶۰ عضوی.

روش این تحقیق	مرجع [۱۱]	سطح مقطع اعضا در نقطه‌ی بهینه (in ^۲)	اعضای گروه	شماره‌ی گروه
۹,۱۷۲۱			A_1, A_{12}	۱
۸,۷۰۴۴			A_2, A_{12}	۲
۳,۵۵۶۹			A_2, A_{15}	۳
۱۲,۴۸۶۶			A_4, A_{16}	۴
۱۲,۴۰۷۸			A_5, A_{17}	۵
۷,۱۷۲۶			A_6, A_{18}	۶
۸,۸۳۰۲			A_7, A_{19}	۷
۹,۱۵۰۴			A_8, A_{20}	۸
۳,۲۲۶			A_9, A_{21}	۹
۱۳,۵۴۲۴			A_{10}, A_{22}	۱۰
۸,۰۶۰۵			A_{11}, A_{23}	۱۱
۶,۵۶۴۲			A_{12}, A_{24}	۱۲
۳,۲۲۶			A_{25}, A_{27}	۱۳
۳,۲۲۶			A_{26}, A_{28}	۱۴
۶,۰۵۷۷			A_{27}, A_{29}	۱۵
۷,۲۸۶۹			A_{28}, A_{30}	۱۶
۷,۳۷۱۴			A_{29}, A_{31}	۱۷
۵,۹۴۴۲			A_{30}, A_{32}	۱۸
۶,۹۰۶۹			A_{31}, A_{33}	۱۹
۳,۲۲۶			A_{32}, A_{34}	۲۰
۶,۵۶۰۴			A_{33}, A_{35}	۲۱
۸,۰۵۶			A_{34}, A_{36}	۲۲
۷,۶۵۰۷			A_{35}, A_{37}	۲۳
۸,۰۵۶			A_{36}, A_{38}	۲۴
۷,۶۵۰۷			$A_{37} \dots A_{40}$	۲۵
۱۲۷۷,۲	۱۲۷۷,۶*	(N)		

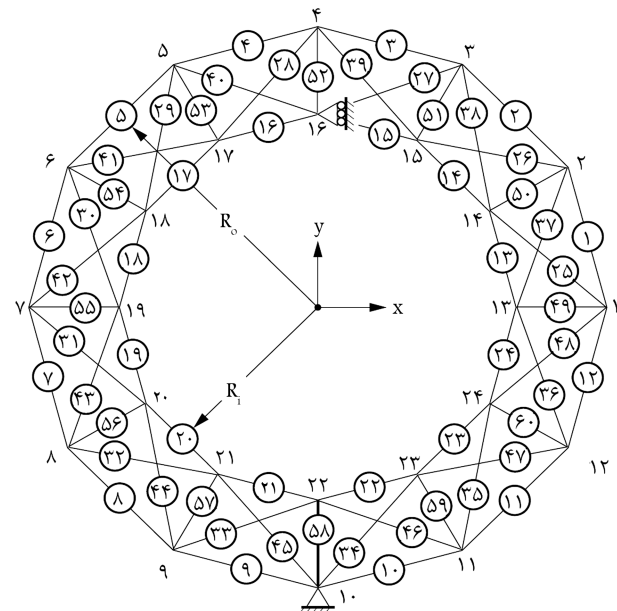
* در نتایج ارائه شده در مرجع [۱۱] تنها وزن بهینه ارائه شده است.

جدول ۷. بارگذاری خرپای ۶۰ عضوی. [۱۱]

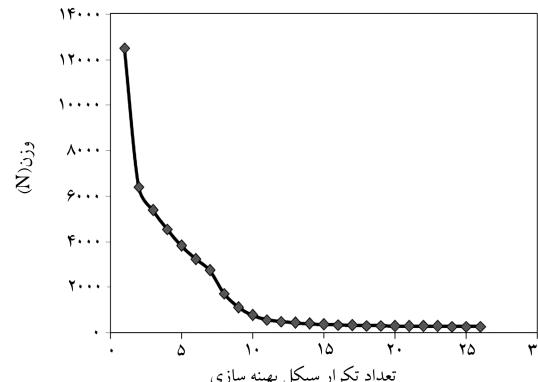
مولفه‌های بارگذاری (kN)	شماره‌ی گره	حالت بارگذاری	
P _Y	P _X		
۰	-۴۴,۵۴	۱	۱
۰	۴۰,۰۸	۷	
۱۳,۳۶	-۳۵,۶۳	۱۵	۲
۱۳,۳۶	-۳۵,۶۳	۱۸	
۴۴,۵۴	-۸۹,۰۷	۲۲	۳

مثال چهارم: حلقه خربایی ۶۰ عضوی

یک حلقه صفحه‌ی بی که توسط المان‌های خرپا مدل شده است در شکل ۷ نشان داده شده است، [۱۱] که نسبت به مثال‌های قبلی از تعداد متغیر طراحی بزرگ‌تری برخوردار است و از مثال‌های نسبتاً بزرگ به حساب می‌آید. خواص ماده‌ی به کار گرفته شده عبارت است از: ضریب کشسانی برابر با (10^7 psi) 68947 MPa و جرم وزنی معادل (10^6 pc) 2768 kg/m³ و کوچک‌ترین مقنن روی سطح مقطع برابر است با (10^5 in³) 2258 cm³ است. شعاع داخلی حلقه برابر با (۹۰ in.) 254 cm است. سطح مقطع اعضا سازه به یکدیگر مرتبط شده‌اند به طوری که به ۲۵ گروه مستقل تقسیم می‌شوند (جدول ۶). سازه تحت سه نوع بارگذاری مستقل قرار می‌گیرد (جدول ۷) و برای آغاز بهینه‌سازی سطح مقطع تمامی اعضا برابرند و مقنن (50 in³) 322 cm³ است. در شکل ۸ روند کاهش وزن بر حسب تعداد مراحل



شکل ۷. خرپای ۶۰ عضوی. [۱۱]



شکل ۸. نمودار تغییرات وزن بر حسب تعداد چرخه‌ی بهینه‌سازی برای خرپای ۶۰ عضوی.

جدول ۸. خلاصه‌ی نتایج برای مثال خرپای ۲۰۰ عضوی.

سطح مقطع اعضاء در نقطه‌ی بهینه (in ²)	اعضای گروه	شماره‌ی گروه	سطح مقطع اعضاء در نقطه‌ی بهینه (in ²)	اعضای گروه	شماره‌ی گروه
روش این تحقیق	مرجع [۶]		روش این تحقیق	مرجع [۶]	
۰,۶۴۵۱۶	۲۸,۱۶۷۶۹	۱۱۴,۱۰۲	۴۹	۱,۵۰۰,۶۴۲	۱,۶۶۷۷۳۹
۰,۶۴۵۱۶	۱,۴۳۹۹۹۷	۱۱۳,۱۰۳	۵۰	۱,۶۰۱۲۸۷	۱,۷۴۱۹۳۲
۱۲,۴۹۲۲۳	۸,۴۱۸۶۹۳	۱۱۲,۱۰۴	۵۱	۴,۸۰۱۸۷۷	۴,۶۰۵۱۵۲
۳,۰۷۹۹۹۴	۴۷,۳۰۶۳۶	۱۱۱,۱۰۵	۵۲	۲,۴۸۴۵۱۱	۲,۶۰۱۸۷۲
۱,۷۰۲۵۷۷	۱,۶۶۰,۶۴۲	۱۱۰,۱۰۶	۵۳	۰,۶۴۵۱۶	۰,۶۶۳۸۷
۱۳,۴۲۳۲	۱,۴۵۱۶۱	۱۰۹,۱۰۷	۵۴	۶,۷۷۱۰۹۹	۶,۷۹۶۱۱۵
۰,۸۳۲۸۹۲	۳۶,۷۲۸۳۱	۱۰۸	۵۵	۰,۶۴۵۱۶	۰,۶۴۵۱۶
۰,۶۴۵۱۶	۷,۸۲۴۵	۱۱۸,۱۱۵	۵۶	۰,۶۴۵۱۶	۰,۸۲۶۴۵
۲۲,۴۷۷۳۷	۳,۷۵۸۰۵۷	۱۱۷,۱۱۶	۵۷	۶,۰۴۰,۶۳۳	۶,۱۷۴۰۷
۰,۶۴۵۱۶	۲۴,۷۲۱۲۴	۱۳۱,۱۱۹	۵۸	۰,۶۴۵۱۶	۰,۶۴۵۱۶ ۱۰,۱۹۴,۶۳,۵۶,۲۰,۱۸ ۱۷۷,۱۷۰,۱۳۹,۱۳۲
۲,۰۰۹۰۲۸	۱۳,۸۸۱۹۱	۱۳۰,۱۲۰	۵۹	۰,۶۴۵۱۶	۰,۷۳۸۰۶۳
۱۷,۴۱۲۲۲	۱,۲۹۸۰۶۲	۱۲۹,۱۲۱	۶۰	۰,۶۴۵۱۶	۰,۷۸۱۹۳۴
۰,۶۴۵۱۶	۵۹,۰۴۵۰۴	۱۲۸,۱۲۲	۶۱	۱۱,۲۵۹۹۸	۱۱,۰۷۶۷۵
۰,۶۴۵۱۶	۰,۹۴۷۰۹۵	۱۲۷,۱۲۳	۶۲	۰,۸۱۸۷۷۳	۱,۰۴۱۲۸۸
۱۹,۸۷۴۸	۶,۰۰۰,۶۳۲	۱۲۶,۱۲۴	۶۳	۳,۲۵۰,۳۱۶	۳,۳۲۸۳۸
۰,۹۹۸۷۰۸	۳۷,۷۱۹۹۲	۱۲۵	۶۴	۱۲,۲۲۳۲	۱۲,۲۷۱۵۹
۰,۶۴۵۱۶	۰,۶۴۵۱۶	۱۳۸,۱۳۷,۱۳۴,۱۳۳	۶۵	۰,۶۴۵۱۶	۰,۷۶۶۴۵
۰,۶۴۵۱۶	۱,۰۸۷۷۴	۱۳۶,۱۳۵	۶۶	۰,۶۴۵۱۶	۰,۶۴۵۱۶
۲۸,۹۹۹۹۴	۳۱,۰۶۳۸۱	۱۰۲,۱۴۰	۶۷	۱۲,۴۹۲۲۳	۱۲,۴۷۴۱۷
۱,۲۶۸۲۸۰	۳,۷۳۴۱۸۶	۱۰۱,۱۴۱	۶۸	۳,۰۷۹۹۹۴	۲,۵۰۱۳۸۲
۱۰,۱۹۲۸۷	۱۶,۴۰۹۴۲	۱۰۰,۱۴۲	۶۹	۱,۷۰۲۵۷۷	۰,۹۰۴۰۱۴
۷۱,۰۶۰۰۲	۶۵,۳۹۹۸۷	۱۴۹,۱۴۳	۷۰	۱۳,۴۲۳۲	۱۳,۷۶۶۴۲
۰,۲۵۹۹۸۹	۶,۳۷۶۷۶۱	۱۴۸,۱۴۴	۷۱	۰,۸۲۲۸۹۲	۰,۲۳۱۶۰۲
۰,۶۹۸۰۶۳	۱,۷۴۹۶۷۴	۱۴۷,۱۴۵	۷۲	۰,۶۴۵۱۶	۰,۶۶۰۶۴۴
۴۲,۴۶۷۰۱	۴۴,۲۱۱۰۲	۱۴۶	۷۳	۲۲,۴۷۷۳۷	۲۲,۷۳۸۰۲
۹,۲۷۱۰۹۴	۰,۸۵۹۳۰۳	۱۵۶,۱۰۳	۷۴	۰,۶۴۵۱۶	۰,۶۶۲۰۷۹
۲,۷۹۷۴۱۴	۱,۰۱۸۰۶۲	۱۰۵,۱۰۴	۷۵	۲,۰۰۹۰۲۸	۱,۳۸۷۰۹۴
۲۲,۸۲۹۶۳	۲۳,۴۰۸۹۷	۱۶۹,۱۰۷	۷۶	۱۷,۴۱۲۲۲	۱۸,۱۸۴۴۸
۱۰,۹۲۱۹	۴,۴۸۰۷۹۷	۱۶۸,۱۰۸	۷۷	۰,۶۴۵۱۶	۰,۷۰۶۴۵
۰,۶۴۵۱۶	۹,۹۱۹۳۳۵	۱۶۷,۱۰۹	۷۸	۰,۶۴۵۱۶	۰,۸۳۰۹۶۶
۹۲,۵۶۰۴۶	۹۷,۹۱۰۹۳	۱۶۶,۱۰۰	۷۹	۱۹,۸۷۴۸	۲۰,۲۱۹۳۱
۴,۵۷۷۴۱	۲,۷۴۴۵۱۱	۱۶۵,۱۰۱	۸۰	۰,۹۹۸۷۰۸	۱,۱۳۰۹۶۵
۳,۱۴۷۷۳۸	۰,۹۲۴۵۱۴	۱۶۴,۱۰۲	۸۱	۱,۵۰۰,۶۴۲	۶,۰۵۶۱۱۷
۴۶,۹۱۷۹۷	۵۱,۰۴۶۳۵	۱۶۳	۸۲	۱,۶۰۱۲۸۷	۲۹,۱۸۷۰۴
۰,۶۴۵۱۶	۳,۸۰۱۲۸۳	۱۷۶,۱۷۵,۱۷۲,۱۷۱	۸۳	۴,۸۰۱۸۷۷	۱,۳۷۷۴۱۷
۰,۷۱۰۴۸۲	۲,۵۳۰۴۷۹	۱۷۴,۱۷۳	۸۴	۲,۴۸۴۵۱۱	۰,۶۵۲۲۵۷
۳۰,۲۸۱۲۲	۳۹,۸۹۰۸۹	۱۹۰,۱۷۸	۸۵	۰,۶۴۵۱۶	۲۴,۶۳۶۰۸
۱,۱۹۸۷۰۷	۱۲,۴۵۳۰۲	۱۸۹,۱۷۹	۸۶	۶,۷۷۱۰۹۹	۳,۶۹۱۶۰۶
۱۶,۷۳۴۱۶	۰,۷۵۸۰۶۳	۱۸۸,۱۰۰	۸۷	۰,۶۴۵۱۶	۰,۹۳۷۴۱۷
۹۹,۰۱۲۰۶	۱۰۴,۴۷۰۸	۱۸۷,۱۰۱	۸۸	۰,۶۴۵۱۶	۲۱,۷۲۳۸۳
۳,۲۴۰۸	۰,۹۰۳۸۶۹	۱۸۶,۱۰۲	۸۹	۶,۰۴۰,۶۳۳	۷,۴۹۹۳۴
۴,۸۷۲۲۴۸	۴,۰۸۷۰۸۹	۱۸۵,۱۰۳	۹۰	۰,۶۴۵۱۶	۰,۸۸۱۲۸۹
					۹۱,۰۸۳

ادامه جدول ۸.

سطح مقطع اعضا در نقطه‌ی بهینه (in ²)		اعضای گروه	شماره گروه	سطح مقطع اعضا در نقطه‌ی بهینه (in ²)		اعضای گروه	شماره گروه
روش این تحقیق	مرجع [۶]			روش این تحقیق	مرجع [۶]		
۵۲,۳۶۹۵۷	۵۷,۴۵۴۰.۸	۱۸۴	۹۱	۰,۶۴۵۱۶	۴۰,۸۵۴۷۶	۹۰,۸۴	۴۳
۲۲,۵۹۱۰۷	۱۷,۷۳۰.۹۳	۱۹۴,۱۹۱	۹۲	۰,۶۴۵۱۶	۱,۱۶۷۷۴	۸۹,۸۵	۴۴
۱۵,۷۱۶۱	۱۷,۷۴۸۳۵	۱۹۳,۱۹۲	۹۳	۱۱,۲۵۹۹۸	۱,۰۴۵۱۵۸	۸۸,۸۶	۴۵
۴۲,۴۰۸۹۵	۵۰,۹۶۶۹۹	۲۰۰,۱۹۵	۹۴	۰,۸۱۶۷۷۳	۳۰,۲۷۶۷۱	۸۷	۴۶
۱۱۸,۹۷۶۵	۱۱۰,۵۸۰.۴	۱۹۹,۱۹۶	۹۵	۲,۲۵۰۳۱۶	۰,۸۸۹۶۷۶	۱۰۰,۹۹,۹۶,۹۵	۴۷
۴۶,۱۵۷۹۷	۴۸,۳۷۹۲۶	۱۹۸,۱۹۷	۹۶	۱۳,۲۲۳۲	۰,۸۵۰۹۶۶	۹۸,۹۷	۴۸
۹۸۴۶۵,۲	۹۶۷۹۲*	(وزن (N))					

* با سطح مقطع‌های ارائه شده در مرجع [۶] بعضی از قبود انکسی نقطه‌ی شوند و وزن برابر با N ۹۸۴۱۱,۸ می‌باشد.

بهینه‌سازی نشان داده شده است. نتایج به دست آمده برای این مثال در جدول ۶ ارائه شده و با سایر مراجع مقایسه شده است.

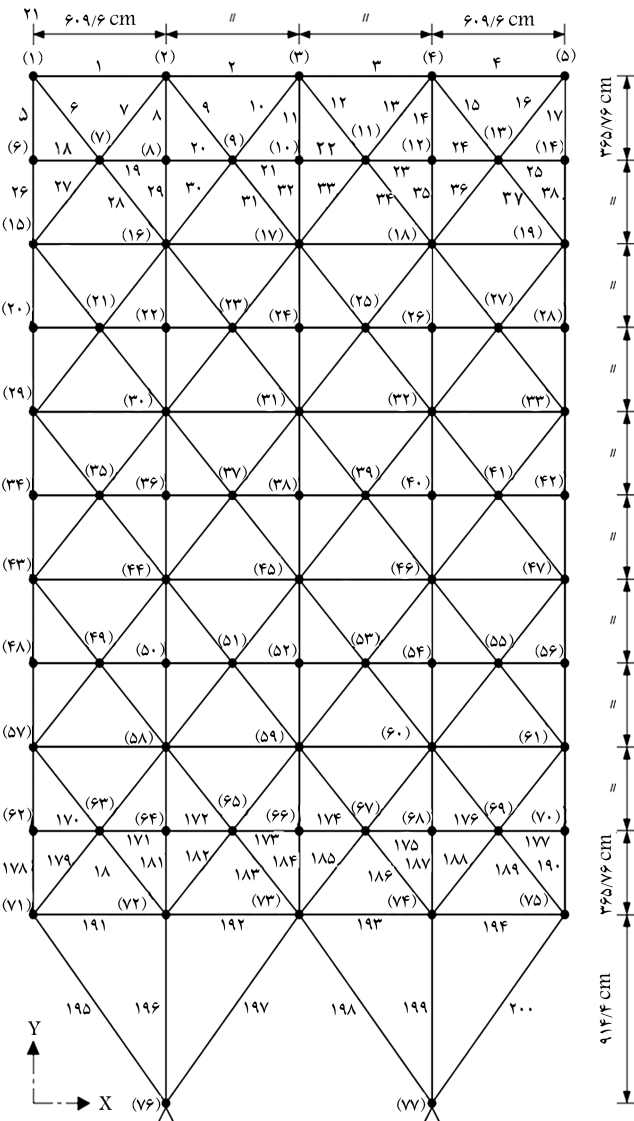
مثال پنجم: خرپای صفحه‌ی ۲۰۰ عضوی

در شکل ۹ یک خرپای صفحه‌ی ۲۰۰ عضوی نشان داده شده است. [۶] درجه‌ی نامعین استاتیکی در این سازه برابر با ۵۰ است و در مقایسه با مثال‌های پیشین، مثالی بزرگ با تعداد متغیرهای طراحی بالاتر و تعداد قبود بسیار بالاتر است. اطلاعات مربوط به این مثال عبارت است از: ضریب مدول کشسانی برابر با (۳ × ۱۰⁷) MPa (۳ × ۱۰⁷ psi)، وزن حجمی برابر با (۰,۲۸۳ pcf)، کمترین مقدار مجاز برای سطح مقطع اعضا (۰,۱ in²) و ۰,۶۴۵۱۶ cm² است. مقدار تنش تمام اعضا برابر است با (۱۰ ksi) ± ۶۸,۹۴ MPa (۱۰ ksi) و سطح مقطع اعضا سازه به یکدیگر مرتبط شده‌اند به طوری که به ۹۶ گروه مستقل تقسیم می‌شوند (جدول ۸). سازه تحت سه نوع بارگذاری مستقل قرار دارد:

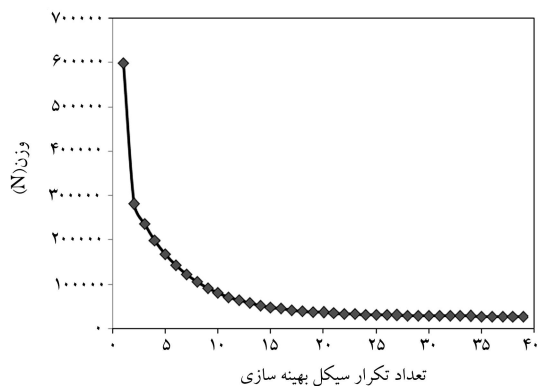
۱. نیرویی برابر با (۱) ۴,۴۵ kN در جهت مثبت x برگرهای ۱, ۶, ۲۱, ۲۰, ۲۹, ۳۴, ۴۲, ۴۸, ۵۷, ۶۲, ۷۱ اعمال می‌شود.
۲. نیرویی برابر با (۱۰) ۱۰ kips در جهت منفی y برگرهای ۱, ۲, ۳, ۲۰, ۲۱, ۲۲, ۲۳, ۲۴, ۲۵, ۲۶, ۲۷, ۲۸, ۲۹, ۳۰, ۳۱, ۳۲, ۳۳, ۳۴, ۳۵, ۳۶, ۳۷, ۳۸ اعمال می‌شود.
۳. بارگذاری ۱ و ۲ توانان وارد می‌شوند.

برای آغاز بهینه‌سازی سطح مقطع تمامی اعضا برابر با هم بوده و مقدار (۶۰,۳۸۷,۰۶ cm²) برای آن در نظر گرفته شده است. در شکل ۱۰ روند کاهش وزن بر حسب تعداد مراحل بهینه‌سازی نشان داده شده است. نتایج به دست آمده برای این مثال در جدول ۸ ارائه شده و با سایر مراجع مقایسه شده است.

در این مثال تعداد قبود تنش برابر با $1200 = 1200 \times 2 \times 2 \times 2$ تعداد قبود محدودیت سطح مقطع ۲۰۰، و تعداد قبود تساوی سازگاری برابر با $150 = 150 \times 50$ است. چنان‌که بیان شد تعداد قبود مورد بررسی در هر چرخه بسیار زیاد است. با بهکارگیری روش کره‌های محاطی تنها تعداد کمی از این قبود در هر چرخه لحاظ می‌شود که این امر بهشت از حجم محاسبات می‌کاهد، بهویژه وقتی تعداد قبود زیاد



شکل ۹. خرپای ۲۰۰ عضوی. [۶]



شکل ۱۰. نمودار تغییرات وزن بر حسب تعداد چرخه‌ی بهینه‌سازی برای خرپای ۲۰۰ عضوی.

این دو روش و بهره‌گیری از محسنات هر دو روش به طور یک‌جا فراهم می‌شود. از ترکیب این دو روش می‌توان مرحله‌ی انجام تحلیل سازه در هر چرخه‌ی بهینه‌سازی را نیز حذف کرد. همچنین رفتار سازه و بعبارت دیگر نیروها و به تبع آن تنش‌های اعضا، به طور تقریبی محاسبه می‌شوند؛ هرچه تعداد چرخه‌ی بیشتری انجام می‌شود دقت جواب‌ها نیز افزایش می‌یابد.

چنان‌که می‌دانیم در بیشتر مسائل بهینه‌سازی وزن سازه‌ها قیود تنشی وجود دارند که برای هر عضو در هر بازگذاری باید در نظر گرفته شوند؛ درنتیجه قسمت اعظم قیود را تشکیل می‌دهند. در فرمول‌بندی روش نیرو با در نظر گرفتن سطح مقطع اعضای سازه و نیروهای اصلاح زائد سازه نامعین استاتیکی به عنوان متغیرهای طراحی، قیود تنش خطی خواهند شد. لذا دیگر نیازی به محاسبه‌ی گرادیان این قیود نخواهد بود. از مزایای روش مرکزها می‌توان به حرکت در فضای قابل قبول و تا حد امکان به دور از قیود و حذف موقتی قیود غیرفعال و تنها در نظر گرفتن فعل و نزدیک به فعل نام برد. بنابراین تعداد محاسبات لازم کاهش فراوانی می‌یابد و فقط برای قیود تساوی غیرخطی سازگاری به محاسبه‌ی گرادیان توابع نیاز خواهد بود. این امر به خصوص وقتی درجه‌ی نامعینی سازه پایین باشد مشهود است. با این حال، مثال‌های حل شده نشان می‌دهند که چنانچه درجه‌ی نامعینی سازه نیز زیاد باشد این روش کارایی لازم را دارد.

نمودارهای کاهش وزن نشان می‌دهند که در چند تکرار اولیه مقدار وزن سازه به میزان زیادی کاهش می‌یابد؛ همچنین بعد از ۲۰ الی ۲۵ تکرار کاملاً به نزدیکی های جواب بهینه رسیده و قیود فعل در نقطه‌ی بهینه مشخص می‌شوند که حتی می‌توان برای چرخه‌های انتهایی از دیگر روش‌های موجود بهینه‌سازی نیز بهره جست. چنان‌که انتظار می‌رود بدلیل بهره‌گیری از روش مرکزها کاهش وزن به طور یکنواخت بوده و نوسانی در روند کاهش وزن مشاهده نمی‌شود.

چنان‌که پیش‌تر بیان شد در روش ارائه شده به دلیل استفاده از روش‌های مرتبه بالاتر، در مقایسه با روش‌های مرتبه صفر، مشاهده می‌شود که این روش از سرعت و هم‌گرایی خوبی برخوردار است. همچنین می‌توان روش ارائه شده در اینجا برای در نظر گرفتن قیود دیگر از جمله قیود جابه‌جایی، کمانش، فرکانس و غیره را گسترش داد یا برای المان‌های درجه بالاتر نیز از آن‌ها بهره جست که البته نیاز به تحقیقات بیشتری دارد.

و تعداد متغیرهای طراحی کم باشد که عموماً در مسائل عملی پیش می‌آید. افزون بر این، در انتهای هر چرخه دیگر نیاز به تحلیل دوباره سازه برای یافتن رفتار سازه نیست چرا که نیروهای اصلاح زائد در انتهای هر چرخه در نقطه‌ی کاری به دست آمده‌اند. این موضوع نیز از حجم محاسبات -- خصوصاً وقتی تعداد عضوهای سازه زیاد و درجه‌ی نامعینی آن پایین باشد -- مشهود است.

نتیجه‌گیری

در این تحقیق روشی برای یافتن کمترین مقدار وزن یک سازه خرپا تحت قیود تنش و محدودیت اندازه سطح مقطع که تحت چند حالت بازگذاری استاتیکی مختلف قرار دارد، ارائه شد. این مهم با بهره‌گیری از روش نیرو برای تحلیل سازه و ترکیب آن با روش کره‌های محاطی به عنوان ابزار بهینه‌سازی، که یکی از روش‌های مرتبه اول است، به دست آمد. روش کره‌های محاطی خصوصیات منحصر به فردی دارد که پیش‌تر فقط برای قیود نامساوی به کار گرفته شده است. در اینجا این روش به منظور در نظر گرفتن قیود تساوی تعیین داده شده تا بتوان قیود تساوی غیرخطی سازگاری را که از فرمول‌بندی روش نیرو به دست می‌آید به آن اضافه کرد. بدین ترتیب امکان ترکیب

پانوشت

1. non-linear programming
2. optimality criteria
3. trust region
4. evolution strategy
5. harmony search
6. displacement method
7. force method
8. linking of variables
9. redundant forces
10. fully stressed design
11. penalty function
12. feasible-compatible

منابع

1. Schmit, L. "Structural design by systematic synthesis", *In Proceedings, 2nd Conference on Electronic Computation, ASCE*, New York, pp. 105-122 (1960).
2. Schmit, L.A. and Farshi, B. "Some approximation concepts for structural synthesis", *AIAA Journal*, **12** (5), pp. 692-699 (1974).
3. Schmit, L. and Miura, H. "Approximation concepts for efficient structural synthesis", NASA-CR-2552, Washington DC: NASA (1976).
4. Vanderplaats, G. and Moses, F. "Structural optimiza-

- tion by methods of feasible directions”, *Computers and Structures*, **3**, pp. 739-755 (1973).
5. Harless, R. “A method for synthesis of optimal weight”, *Computers and Structures*, **12**, pp. 791-804 (1980).
 6. Arora, J. and Haug, J. “Efficient optimal design of structures by generalized steepest descent programming”, *International Journal for Numerical Methods in Engineering*, **10**, pp. 747-766 (1976).
 7. Razani, R. “The behaviour of the fully stressed design of structures and its relationship to minimum weight design”, *AIAA Journal*, **3**(12), pp. 2262-2268 (1965).
 8. Venkayya, V.; Khot, N. and Reddy, V. “Energy distribution in an optimum structural design”, Report No. AFFDL-TR-68-156, Air Force Flight Dynamics Laboratory, Wright-Patterson Air Force Base, Ohio. (March 1969).
 9. Venkayya, V. “Design of optimum structures”, *Computers and structures*, **1**, pp. 265-309 (1971).
 10. Allwood, R. and Chung, Y. “Minimum-weight design of trusses by an optimality criteria method”, *International Journal for Numerical Methods in Engineering*, **20**, pp. 697-713 (1984).
 11. Patnaik, S.; Guptill, J. and Berke L. “Merits and limitations of optimality criteria method for structural optimization”, *International Journal for Numerical Methods in Engineering*, **38**, pp. 3087-3120 (1995).
 12. Fleury, C. “A unified approach to structural weight minimization”, *Computer Methods In Applied Mechanics and Engineering*, **20**, pp. 17-38 (1979).
 13. Patnaik, S.; Gendy, A.; Berke, L. and Hopkins, D. “Modified fully utilized design (MFUD) method for stress and displacement constraints”, *International Journal for Numerical Methods in Engineering*, **41**, pp. 1171-1194 (1998).
 14. Makris, P. and Provatisidis, C. “Weight minimisation of displacement-constrained truss structures using a strain energy criterion”, *Computer Methods In Applied Mechanics and Engineering*, **191**, pp. 2159-2177 (2002).
 15. Lamberti, L. and Pappalettere, C. “Comparison of the numerical efficiency of different sequential linear programming based algorithms for structural optimization problems”, *Computers and Structures*, **76**, pp. 713-728 (2000).
 16. Lamberti, L. and Pappalettere, C. “Move limits definition in structural optimization with sequential linear programming. Parts I & II”, *Computers and Structures*, **81**, pp. 197-238 (2003).
 17. Lamberti, L. and Pappalettere, C. “Improved sequential linear programming formulation for structural weight minimization”, *Computer Methods In Applied Mechanics and Engineering*, **193**, pp. 3493-3521 (2004).
 18. Kirsch, U. “Optimal design of trusses by approximate compatibility”, *Computers and Structures*, **12**, pp. 93-98 (1980).
 19. Reinschmidt, K. and Russell, A. “Applications of linear programming in structural layout and optimization”, *Computers and Structures*, **4**, pp. 853-869 (1974).
 20. Farshi, B. and Schmit, L. “Minimum weight design of stress limited trusses”, *Journal of Structural division, ASCE*, **100**(ST1), pp. 97-107 (Jan 1974).
 21. Pearson, C. “Structural design by high-speed computing machines”, *Proceedings of the first conference on electronic computation, ASCE*, New York, N.Y., pp. 417-436 (1958).
 22. Przemieniecki, J., *Theory of Matrix Structural Analysis*, New York, McGraw-Hill (1968).
 23. Kaveh, A. and Rahami, H. “Analysis, design and optimization of structures using force method and genetic algorithm”, *International Journal for Numerical Methods in Engineering*, **65**, pp. 1570-1584 (2006).
 24. Kaveh, A. and Rahami, H. “Nonlinear analysis and optimal design of structures via force method and genetic algorithm”, *Computers and Sturucturs*, **84**, pp. 770-778 (2006).
 25. Rahami, H.; Kaveh, A. and Gholipour, Y. “Sizing, geometry and topology optimization of trusses via force method and genetic algorithm”, *Engineering Structures*, **30**, pp. 2360-2369 (2008).
 26. Kaveh, A. and Hassani, M. “Simultaneous analysis, design and optimizatioin of structures using force method and ant colony algorithms”, *Asian Journal of Civil Engineering*, **10**, pp. 381-369 (2009).

